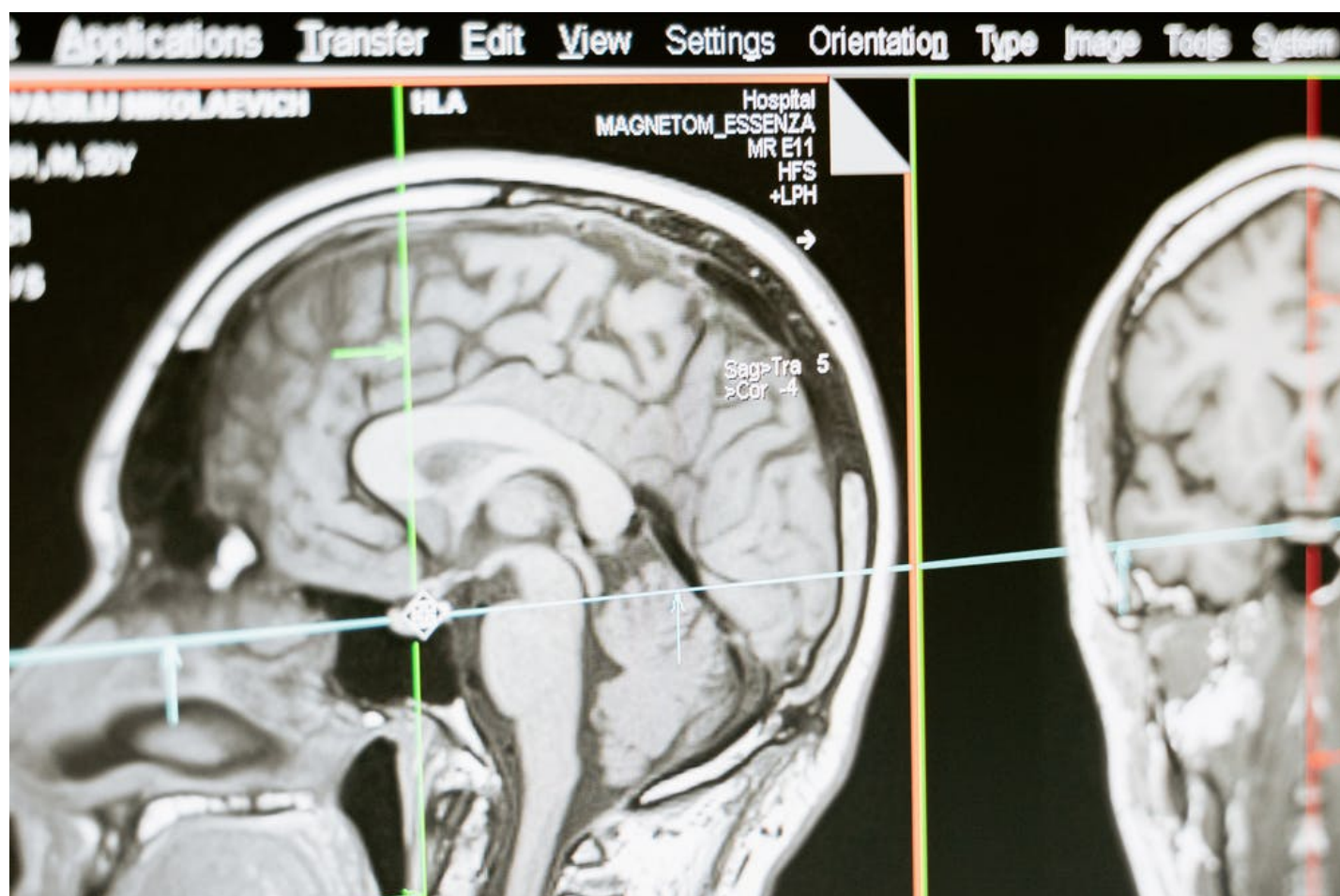
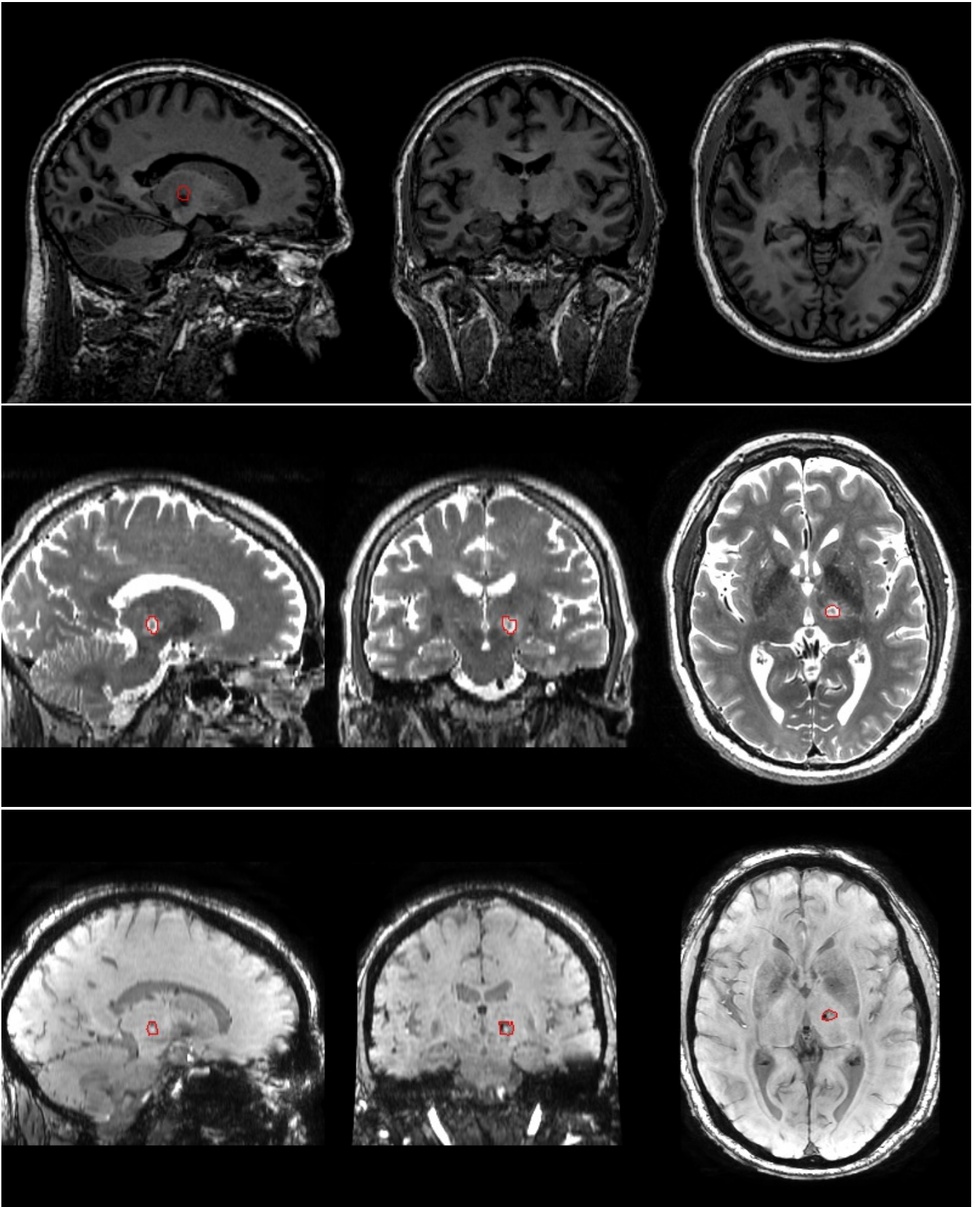


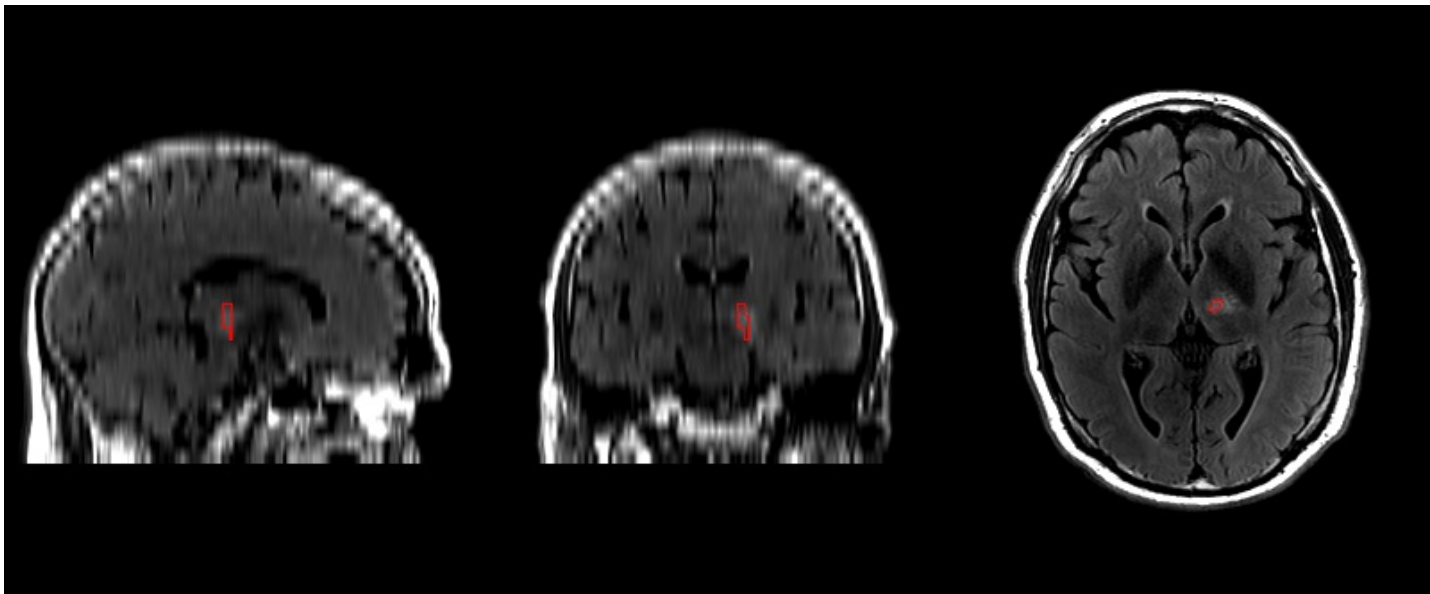


Informe automatizado de topografía de la lesión talámica mediante ultrasonido focal de alta intensidad

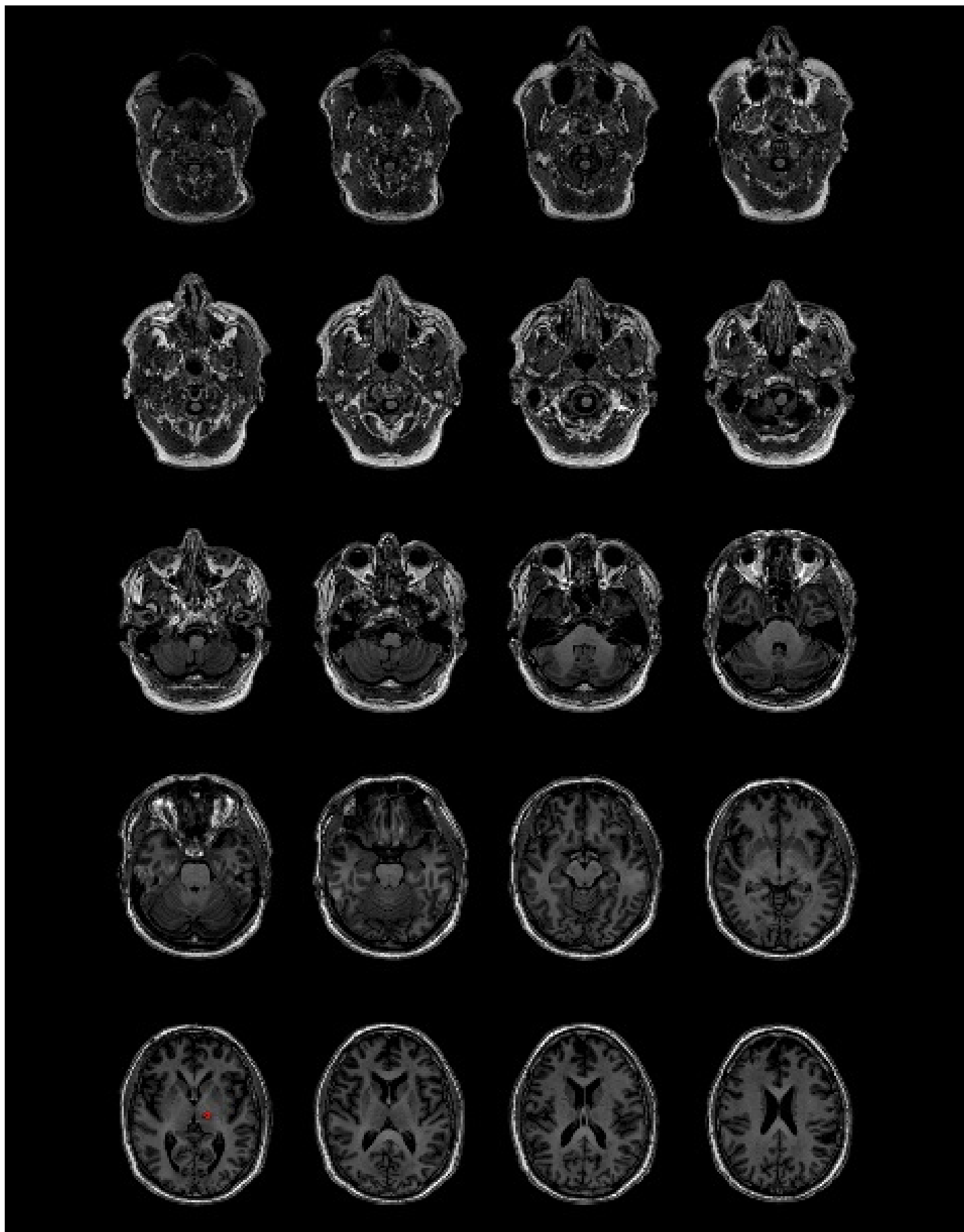


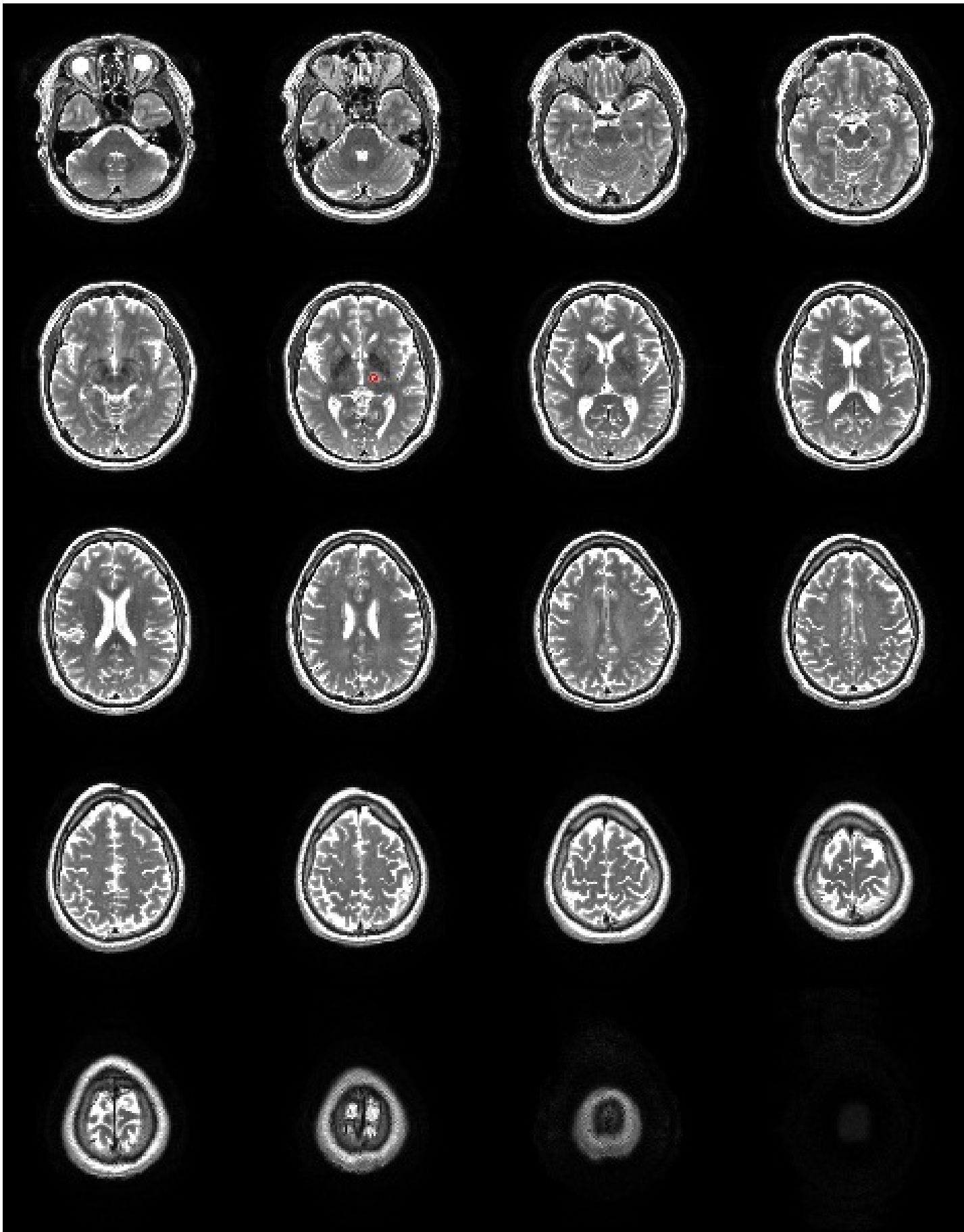
Imágenes de la lesión talámica en T1, T2, SWAN y FLAIR

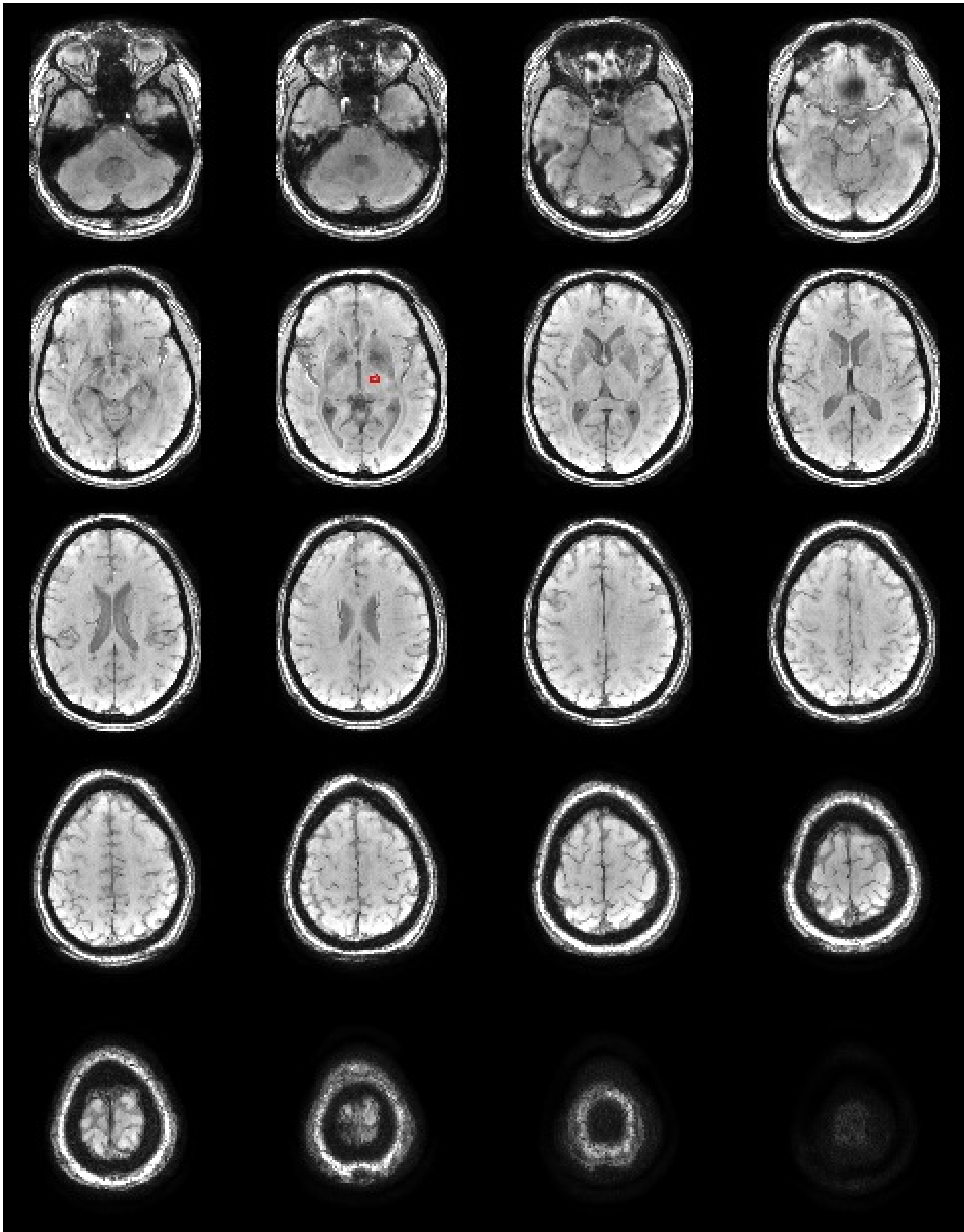


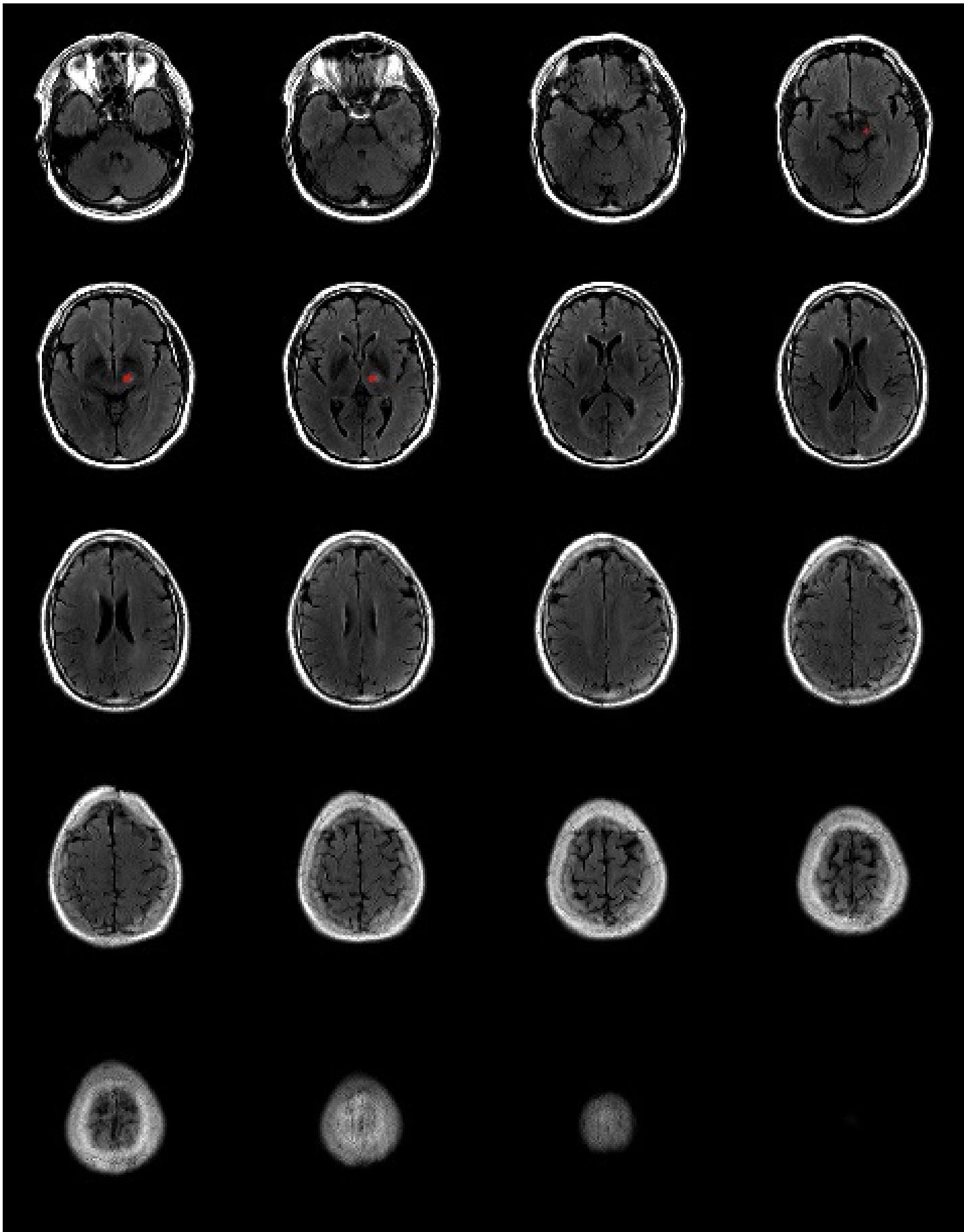


Imágenes de la lesión talámica en T1, T2, SWAN y FLAIR con formato mosaico





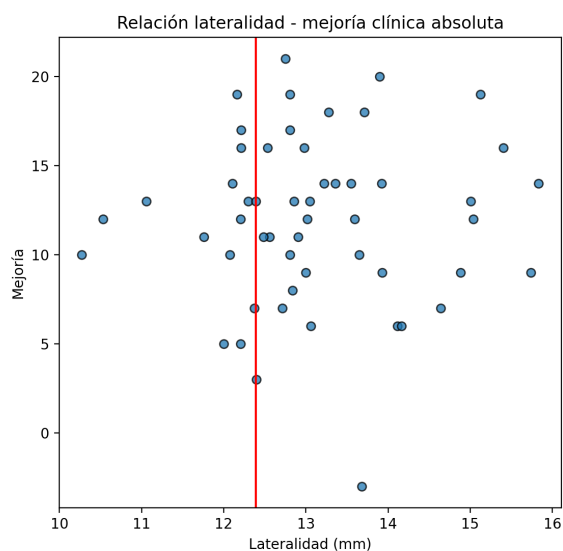
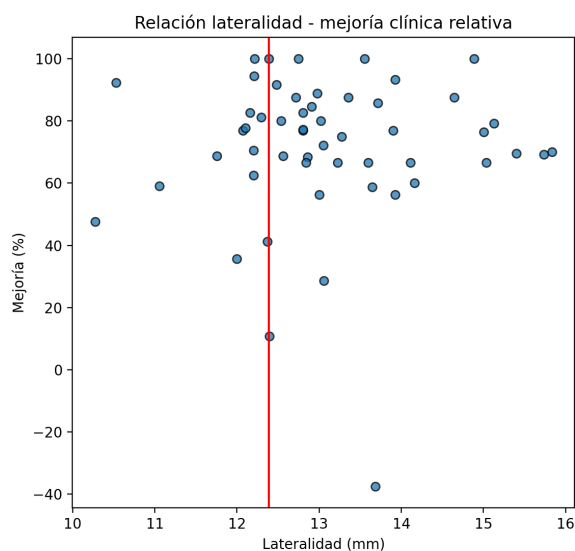
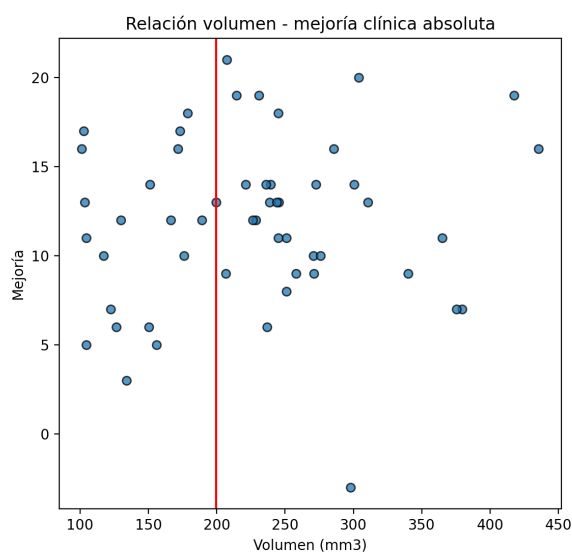
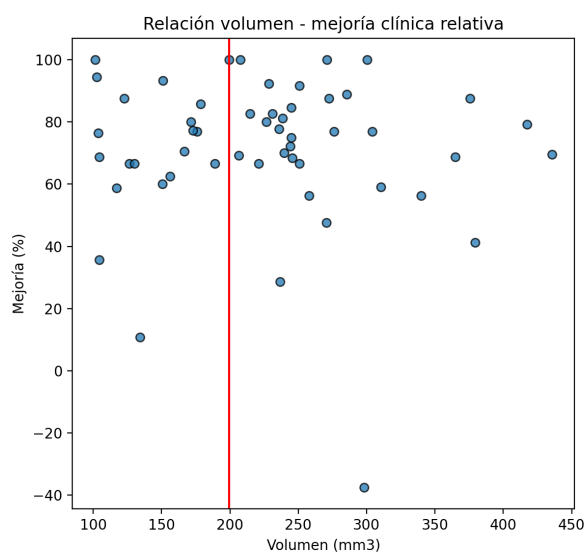


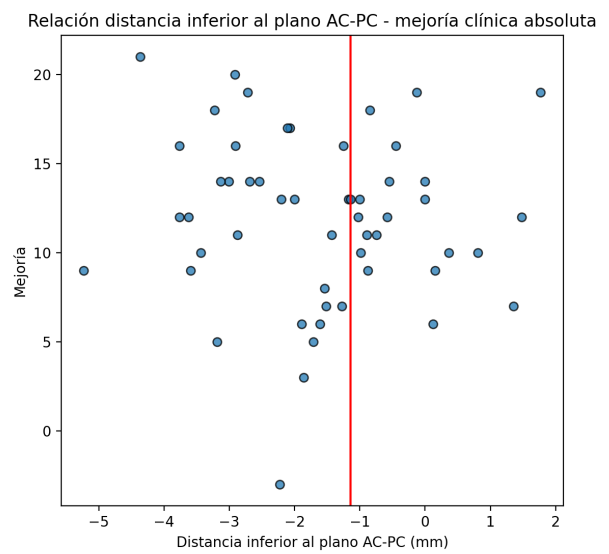
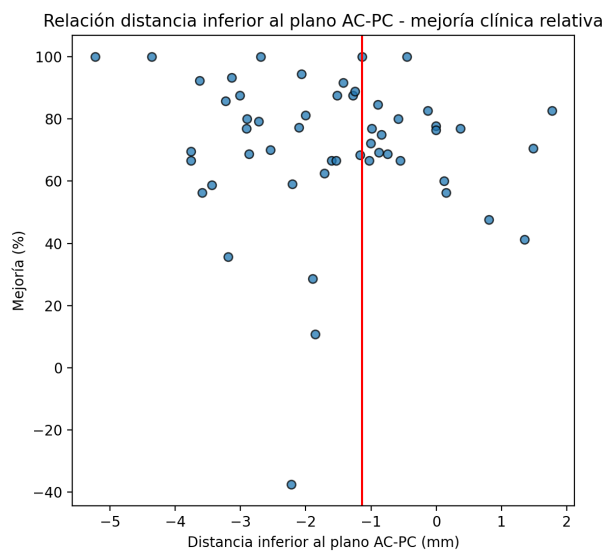
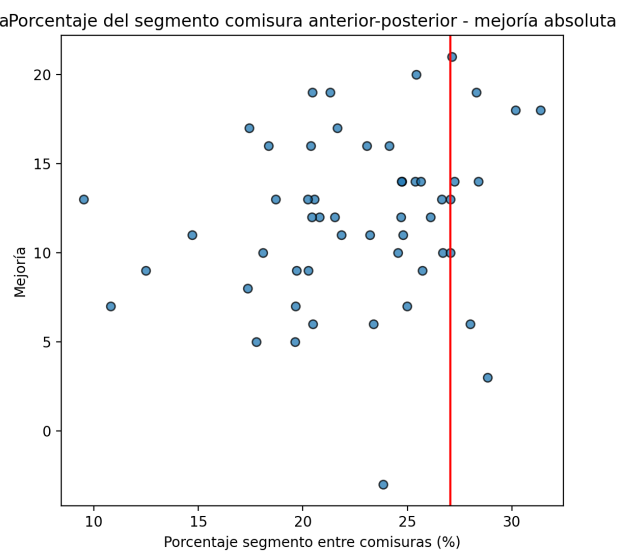
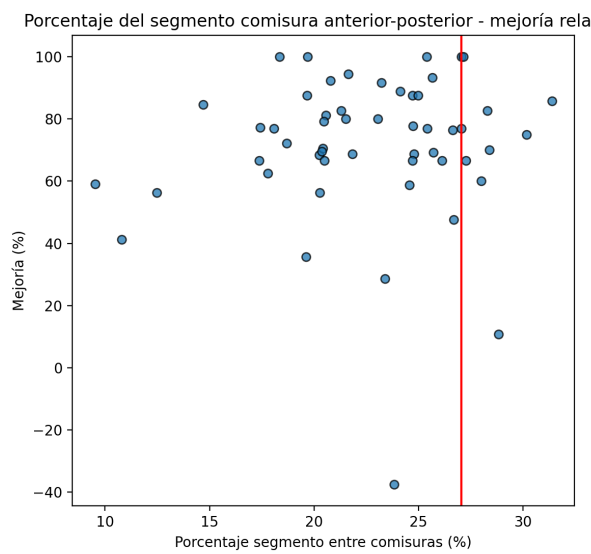
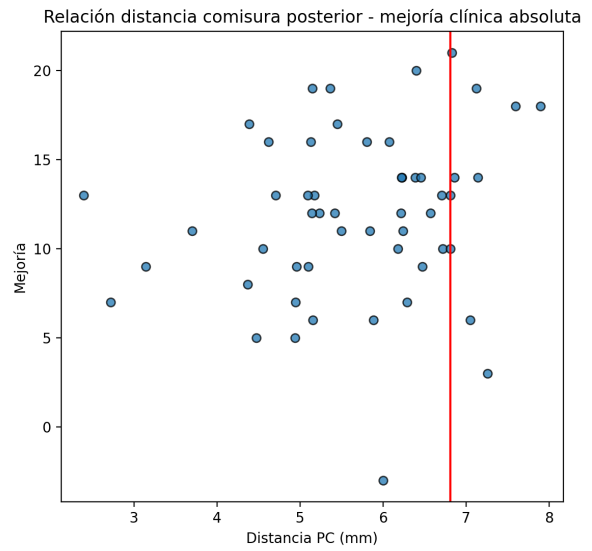
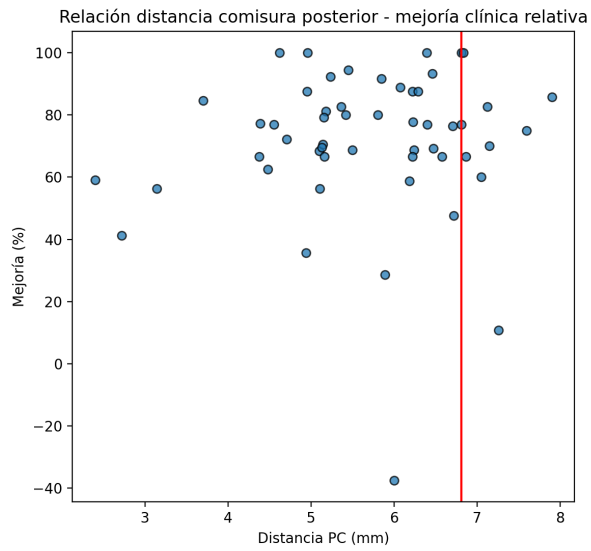


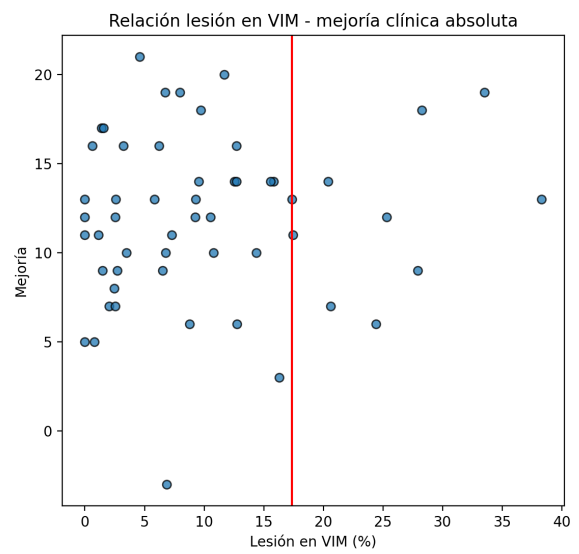
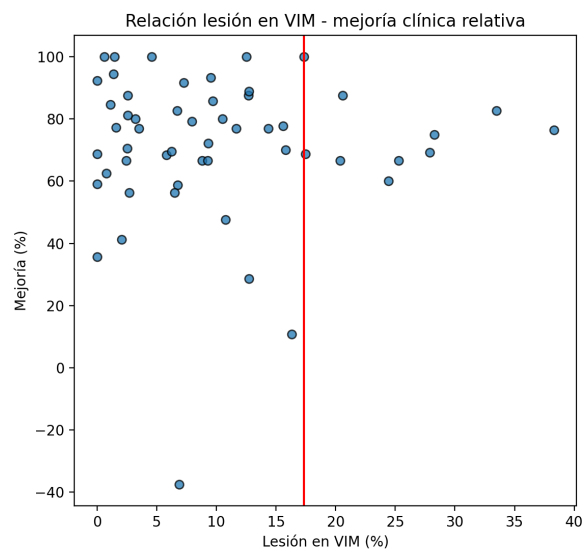
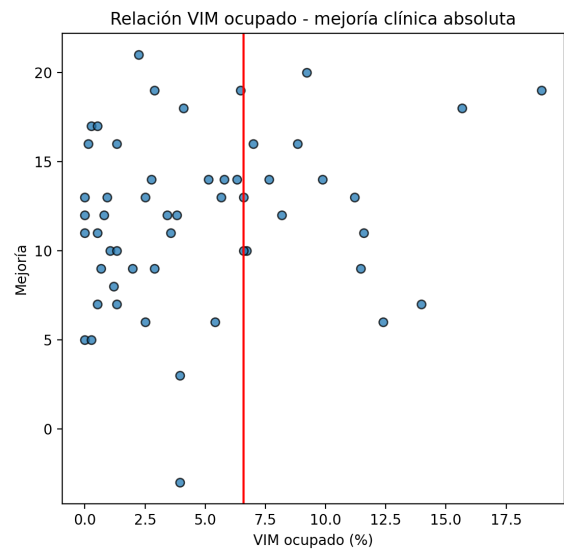
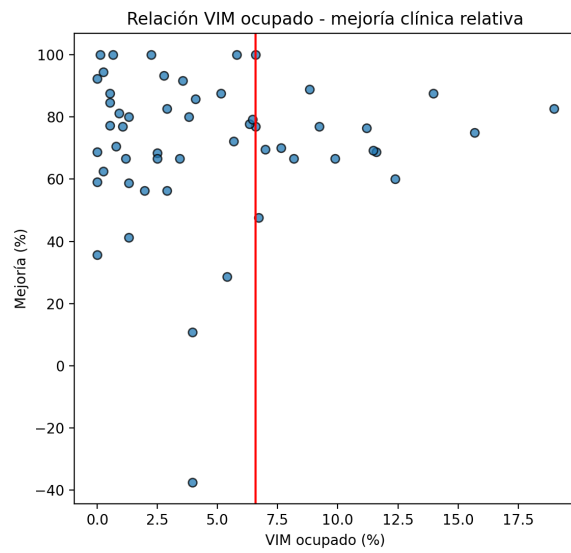
Características de la lesión

Volumen	199.4936 mm
Distancia PC	6.8125 mm
Distancia PC (%)	27.0559%
Lateralidad	12.3889 mm
Distancia inferior del plano AC-PC	-1.1389 mm
VIM ocupado por la lesión	6.5876%
Lesión en VIM	17.3611%

Comparación estadística con una población de pacientes a los que se ha aplicado el tratamiento







Relación y comparación entre las características de la lesión talámica y la aparición de ataxia y parestesia a los 3 meses

